



مقاله پژوهشی

ارزیابی اثرات حفاظتی نانوذرات PLGA حاوی لیپوپلی‌ساکارید سمیت‌زادایی شده باکتری اسینتوباکتر بومانی (*Acinetobacter baumannii*) در عفونت ریوی موش

افشین قلی زاده^۱، رضا شاپوری^{۲*}، پرویز پاکزاد^۱، حسین دانافر^۳، مهدی مهدوی^۴

۱- گروه زیست‌شناسی، واحد تهران شمال، دانشگاه آزاد اسلامی، تهران، ایران

۲- گروه زیست‌شناسی، واحد زنجان، دانشگاه آزاد اسلامی، زنجان، ایران

۳- گروه نانوفناوری دارویی، دانشکده داروسازی، دانشگاه علوم پزشکی، زنجان، ایران

۴- گروه ایمنوتراپی، انتیتو علوم دارویی، دانشگاه علوم پزشکی، تهران، ایران

مسئول مکاتبات: rezashapoury@yahoo.com

DOI: 10.22034/ascij.2021.684783

تاریخ پذیرش: ۱۴۰۰/۰۱/۱۷

تاریخ دریافت: ۱۳۹۹/۱۱/۱۴

چکیده

اسینتوباکتر بومانی، باکتری هوازی فرصت طلبی است که به عنوان یکی از شایعترین پاتوژن‌های میکروبی با مقاومت آنتی‌بیوتیکی در ایجاد عفونت تنفسی در بیماران بستری در بخش ICU شناخته می‌شود. ساخت واکسن می‌تواند یکی از راهکارهای موثر در مقابله با این عفونت باشد. این مطالعه، به منظور ارزیابی اثرات حفاظتی نانوذرات PLGA حاوی لیپوپلی‌ساکارید (LPS) سمیت‌زادایی شده باکتری اسینتوباکتر بومانی به عنوان واکسن در عفونت ریوی موش انجام شد. برای تکثیر این‌بacteria از محیط کشت مولر هیبتون براث استفاده شد. LPS باکتری به روش آب-فنل داغ استخراج و به کمک ۰/۲ NaOH مولار سمیت‌زادایی شد. انکپسوله کردن LPS سمیت‌زادایی شده در ذرات PLGA به روش تبخیر حلال - امولسیون دوتایی آب - در روغن - در آب انجام شد. ذرات تهیه شده بین ۱۵۰ تا ۲۰۰ نانومتر قطر داشتند و دارای بار سطحی منفی بودند. ۴۰ سرموش C/Balb/C به طور تصادفی به ۴ گروه ۱۰ تایی (کترل، گروه دریافت کننده D-LPS و گروه D-LPS) در روز ۳۵ دریافت کننده PLGA-D-LPS تقسیم و تمامی گروه‌ها سه بار به فاصله ۱۴ روز با واکسن تیمار شدند. در روز ۳۵ باکتری‌های زنده از طریق ریه به گروه‌ها عرضه شد و پس از ۴۸ ساعت ریه موش‌ها جهت مطالعات باکتری‌شناسی و هیستوپاتولوژی خارج گردید. کشت عصاره همگن شده بافت ریه، تفاوت معنی داری را بین گروه ۴ با سایر گروه‌ها نشان داد ($p < 0.05$). مطالعه بافت شناسی نیز اثر حفاظتی نانوذرات PLGA حاوی LPS سم زدایی شده را کاملاً نشان داد. این مطالعه نشان داد که ذرات PLGA حاوی LPS سمیت‌زادایی شده اسینتوباکتر بومانی در تحریک سیستم ایمنی موش موفق بوده و می‌تواند به عنوان واکسن استفاده شود.

کلمات کلیدی: اسینتوباکتر بومانی، PLGA، نانوذرات، عفونت ریوی.

مقدمه

این باکتری ممکن است تهدیدی برای بیمارانی باشد که به تهویه مکانیکی احتیاج دارند. از آنجایی که اسیتوباکتر بومانی توانایی تشکیل بیوفیلم در سطح لوله دستگاه تهویه را دارد، ممکن است در قسمت‌های پایین دستگاه تنفسی سطح نسبتاً بالایی را به خود اختصاص دهد (۳۶، ۱۸، ۷). واکسیناسیون از دو قرن قبل به عنوان موثرترین استراتژی برای مقابله و کنترل اکثر بیماری‌های عفونی به شمار می‌رود. استفاده از واکسن‌ها به عنوان عامل درمانی موثر و کارآمد در درمان بیماری‌های عفونی ثابت شده است. برای تولید آنتی‌بادی علیه پیتیدهای کوچک و آنتی‌ژن‌های غیر پروتئینی نظری (قندها، مولکول‌های هاپتنی مانند اکثر داروها)، لازم است این مولکول‌ها به یک حامل بزرگ ایمونوژن کوژنزوگه شوند. برای تولید آنتی‌بادی علیه این دسته آنتی‌ژن‌ها به ویژه آنتی‌ژن‌های پروتئینی و محلول خصوصاً در مواردی که مقدار کم و جزئی آنتی‌ژن در دسترس بوده و از طرف دیگر نیاز به مقدار زیادی آنتی‌بادی علیه آنها لازم است، معمولاً از ادجوانات‌های قوی و مناسب استفاده شود. استفاده از نانو ذرات به عنوان راهی نو برای ساخت حامل برای واکسن‌های کلوئیدی درجهت مصنون‌سازی مورد بررسی قرار گرفته است (۲۷). در تکنولوژی‌های جدید از واکسن‌هایی استفاده می‌شود که در آن ذرات نانو به صورت حامل یا ادجوانت به کار رفته اند که کارایی بسیار بیشتری نسبت به واکسن‌های معمولی موجود در بازار را ارائه می‌دهند. نانوذرات و میکروذرات تقریباً به اندازه ویروس‌ها و باکتری‌ها هستند که سیستم ایمنی آن‌ها را شناسایی می‌کند. همچنین اندازه نانو ذرات مشابه ترکیبات سلولی بوده که با مکانیسم‌های متفاوتی وارد سلول می‌شوند (۳۳). میکرو و نانوذرات PLGA آینده امید بخشی را در زمینه سیستم تحويل و اکسن ارائه می‌دهند. PLGA

امروزه پدیده پاتوژن‌های میکروبی با مقاومت چند دارویی (MDR) به طور فزاینده‌ای دلیلی برای نگرانی جدی در عفونت‌های بیمارستانی و هم در عفونت‌های بدست آمده از جامعه شده است (۲۸). در واقع، سازمان بهداشت جهانی (WHO) اخیراً مقاومت میکروبی را به عنوان یکی از سه مورد شناخته شده مشکلات مهم پیش روی سلامت انسان عنوان کرده است (۵). شایع‌ترین عوامل بیماری‌زای مقاوم به چند دارو MDR بصورت مخفف ESKAPE، گفته می‌شود که به انتروبکوکوس فاسییوم، استافیلکوکوس اورئوس، کلیسیلا پنومونیه، اسیتوباکتر بومانی، سودوموناس آنروزینوزا و گونه‌های مختلف انتروباکتر اشاره دارد (۳۰). اسیتوباکتر بومانی (*Acinetobacter baumannii*) یک باسیل گرم منفی هوایی، پلومورفیک و غیر متحرک بوده و بعنوان پاتوژن فرصت طلب، در افراد مبتلا به نقص سیستم ایمنی، به ویژه در افرادی که مدت طولانی در بیمارستان اقامت داشته اند می‌باشد (۲۱) که معمولاً با محیط‌های مرطوب بدن در ارتباط است (۳۴).

بر اساس مطالعات مختلفی که صورت گرفته اسیتوباکتر بومانی در بخش مراقبت‌های ویژه (ICU) بیمارستان‌های مختلف در خارج و داخل کشور جدا شده است (۴، ۹، ۱۰، ۱۱، ۱۶). در پژوهش‌های متعدد انجام شده مشخص شده بیمارانی که ابزارهای مصنوعی مانند کاتتر، بخیه، دستگاه کمک کننده تنفس استفاده کرده و یا تحت دیالیز بوده و یا در ۹۰ روز گذشته تحت درمان آنتی‌بیوتیکی قرار گرفته بودند در معرض ابتلا به عفونت‌های اسیتوباکتر بومانی قرار داشته‌اند. مجاری تنفسی، خون، مایع جنب، مجاری ادراری، زخم‌های ناشی از جراحی، دستگاه عصبی مرکزی، پوست و چشم ممکن است مکان هایی برای عفونت باشند (۶، ۱۲). ذات الريه ناشی از

هفتاهی نژاد Balb/C ماده بودند که در محدوده ۱۷ تا ۲۰ گرم وزن داشتند و از واحد حیوانات آزمایشگاهی بیمارستان بقیه اه تهران تهیه و قبل از شروع آزمایشات به مدت دو هفته در بخش حیوانی مرکز تحقیقات دانشگاه آزاد زنجان در شرایط استاندارد نگهداری شدند تا استرس ناشی از حمل و نقل در آنها کاهش یابد.

PLGA (Poly lactic-co-glycolic acid) با نسبت ترکیبی ۷۵:۲۵ از شرکت سیگما -آلدریچ تهیه شد.

کشت باکتری: برای بدست آورده کشت انبوه، مقدار ۳ لیتر محیط مولر هیلتون براث در ۶ ارلن یک لیتری تهیه و باکتری به آنها تلقیح شد. ارلن‌ها در انکوباتور شیکر دار در دمای ۳۷ درجه به مدت ۷ روز در ۱۲۵ دور در دقیقه انکوبه شدند. برای جمع آوری باکتری‌ها از محیط کشت، ابتدا مقدار یک میلی لیتر ساولون غلیظ به هر ارلن اضافه و کاملاً مخلوط شد و در محیط آزمایشگاه به مدت ۶۰ دقیقه برای کشته شدن باکتری‌ها قرار داده شدند. توده باکتری‌های کشته شده با استفاده از سانتریفیوژ یخچال‌دار (Hettich-ROTIXA 50RS) در ۲۵۰۰ rpm به مدت ۴۵ دقیقه جمع آوری و برای ادامه کار در دمای ۴ درجه سلسیوس در یخچال انکوبه شدند.

استخراج LPS از باکتری‌ها: برای استخراج لایه لیپوپلی ساکارید باکتری از روش آب - فنل داغ استفاده شد (۳۵). بطور خلاصه با استفاده از آب مقطر استریل سوسپانسیون آبی از رسوب باکتری‌ها تهیه شد و در دمای ۶۶ درجه سلسیوس به مدت ۴۵ دقیقه درون بن ماری قرار گرفت. سپس یک سوم حجم محلول، فنل ۹۰ درصد به آن اضافه و دوباره به مدت ۴۵ دقیقه درون بن ماری در دمای ۶۶ درجه سلسیوس قرار گرفت. سوسپانسیون به سرعت سرد شد و برای جدا سازی فاز آبی و فاز فنلی در ۲۵۰۰ rpm به مدت

پلیمر استری از دو آلفا هیدروکسی اسید (لاکتیک اسید و گلیکولیک اسید) است که از ویژگی‌های بسیار خوبی برخوردار بوده و به دلیل داشتن مشخصات ایمنی عالی انسانی (۱۵) توسط FAD (سازمان غذا و داروی آمریکا) برای استفاده در واکسن و همچنین تحويل دارو در مهندسی بافت مورد تایید قرار گرفته است (۱). ذرات PLGA تخریب پذیر بوده و می‌توانند در محیط‌های آبی به مونومرهای تشکیل دهنده LPS (لایه لیپوپلی ساکارید) بخشنی از ساختار باکتری‌های گرم منفی است که به عنوان آندوتوكسین عمل می‌کند و از سه قسمت تشکیل شده است: ناحیه لبید A یا آندوتوكسین که دارای ساختار دی ساکارید فسفاتی متصل به اسید چرب است. این قسمت در باکتری‌های گرم منفی تقریباً مشابه بوده و یا تفاوت‌های جزئی دارد؛ پلی ساکارید مرکزی که الیگوساکاریدی فسفریله شده بوده و در محافظت از باکتری‌ها در برابر ترکیبات سمی نقش دارد، در طیف وسیعی از باکتری‌ها مشابه بوده و در مواردی دارای تفاوت‌های جزئی می‌باشد؛ زنجیره جانبی یا آنتیزن O که در گونه‌ها و سویه‌های مختلف باکتری‌ها متفاوت است، بخش آنتیزنی لیپوپلی ساکارید محسوب می‌شود و از واحد های قند تکراری تشکیل شده است که سطح هسته مرکزی را می‌پوشاند (۸). پژوهش حاضر با هدف مقایسه میزان ایمنی زایی LPS سمیت زدایی شده باکتری اسیتوباکتر بومانی به تهایی با زمانی که درون نانوذرات PLGA محصور شده باشد؛ انجام شد.

مواد و روش‌ها

باکتری استفاده شده در این پژوهش اسیتوباکتر بومانی سویه ATCC BAA-747 (PTCC 18555) بود که از سازمان پژوهش‌های علمی و صنعتی ایران تهیه گردید. حیوانات استفاده شده موش‌های ماده ۶ تا ۸

۰/۱ میلی گرم از LPS سمیت زدایی شده به محلول Hielscher اضافه و بمدت ۶۰ ثانیه سونیکت (Ultrasonic, Germany) شد. این محلول به ۴ میلی لیتر از پلی ونیل الکل مایع و سرد بعنوان تثبیت کننده اضافه و سه بار، هر بار بمدت یک دقیقه سونیکیت شد تا امولسیون ثانویه بدست آید. امولسیون ثانویه دوباره به ۱۰ میلی لیتر از پلی ونیل الکل اضافه شد و برای تبخیر حلal ارگانیک (دی کلرو متان) بمدت یک شب در روی همزن مغناطیسی با ۳۰۰ دور در دقیقه قرار گرفت. جمع آوری نانو ذرات به کمک سانتریفیوژ (MPW 350R) در ۱۴۰۰۰ دور در دقیقه به مدت ۳۰ دقیقه انجام شد. نانو ذرات سه بار با بافر فسفات شستشو داده شدند و بصورت لیوفیلیزه در آمده و در ۲۰-سانتیگراد ذخیره گردیدند.

اندازه و پتانسیل زتای نانوذرات: برای اندازه‌گیری سایز و پتانسیل زتای ذرات، ۱ میلی گرم از نانو ذرات PLGA-D-LPS در ۱ میلی لیتر از آب مقطر دیونیزه حل و به مدت ۱۵ دقیقه درون آب یخ سونیکیت شد. اندازه ذرات و شاخص پراکندگی نور با دستگاه زتا سایزر مشخص گردید. (Malvern Nano ZS).

D- LPS: ظرفیت بارگذاری و کارایی کپسوله سازی از روش مستقیم استفاده شد(۲). ۱۰ میلی گرم از نانوکپسول های PLGA داری D-LPS در ۱ میلی لیتر از دی کلرومتان حل شد و برای تبخیر حلal بمدت ۳۰ دقیقه در دمای ۳۷ درجه سانتیگراد در انکوباتور شیکردار قرار گرفت. ماده خشک در ۱ میلی لیتر آب دیونیزه حل شد و به کمک سانتریفیوژ در ۸ g ۱۰۰۰۰ به مدت ۵ دقیقه PLGA رسوب کرد. سوپرناتانت که حاوی D-LPS بود به کمک اسپکتوفوتومتری فرا بنفس در طول موج ۴۵۰ نانومتر آنالیز شد. از روی منحنی استاندارد بدست

۴۵ دقیقه سانتریفیوژ و رسوب اوت شد. فاز آبی از فاز فنلی جدا و به فاز آبی، الكل سرد ۹۶ درصد افزوده شد و به مدت ۲۴ ساعت در یخچال در دمای ۴ درجه قرار گرفت. سپس در ۲۵۰۰ rpm به مدت ۶۰ دقیقه سانتریفیوژ و رسوب اوت شد. به محلول رویی به اندازه سه برابر حجم الكل ۹۶ درصد سرد اضافه و به مدت ۲۴ ساعت در یخچال در دمای ۴ درجه سانتیگراد قرار داده شد. محلول دوباره به مدت ۹۰ دقیقه با ۲۵۰۰ دور در دقیقه سانتریفیوژ شد و رسوب LPS بدست آمد.

LPS: برای سم زدایی از LPS باید بخش A آن جدا شود که این کار به کمک ۰/۲ NaOH مولار انجام شد. برای این منظور سوپرانسیون در بن ماری در دمای ۸۰ درجه سلسیوس به مدت ۱۲۰ دقیقه قرار گرفت. سپس pH آن به کمک ۱ HCl مولار در ۷ تنظیم گردید. سوپرانسیون در کیسه دیالیز ۱۰ کیلو Daltonی ریخته شد و به مدت ۴۸ ساعت درون یخچال با دمای ۴ درجه داخل آب مقطر دیونیزه جهت خالص سازی قرار گرفت. آب مقطر از هر ۸ ساعت تعویض می شد. با افزودن الكل سرد و سانتریفیوژ در ۲۵۰۰ دور در دقیقه LPS سم زدایی شده (D-LPS) جمع آوری گردید.

LAL: از تست LAL (lysate) برای پی بردن به تب زا نبودن D-LPS استخراج شده استفاده شد که نتیجه تست منفی بود.

D-LPS: روش ساخت نانوذرات PLGA حاوی های مختلفی برای انکپسوله کردن مواد در نانوذرات PLGA وجود دارد. در پژوهش حاضر از روش تبخیر حلal - امولسیون دوتایی آب - در روغن - در آب (W1/O/W2) استفاده شد (۱۳). بطور خلاصه ۵۰ میلی گرم از PLGA در ۱۲/۵ میلی لیتر از دی کلرومتان حل شد. سپس برای بدست آمدن امولسیون اولیه مقدار

این روند تا سه لوله ادامه پیدا کرد تا رقت‌های $0/1$ و $0/01$ و $0/001$ تهیه گردد. لوله‌ها کاملاً همگن شدند. مقدار $0/5$ میلی‌لیتر از هر کدام از رقت‌ها در محیط جامد مولر هیتون آگار بصورت سطحی کشت داده شدند و به مدت 24 ساعت در دمای 37 درجه سلسیوس انکویه شدند. سپس هر کدام از پلیت‌ها از نظر رشد باکتری بررسی گردیدند.

بافت‌شناسی: ریه چپ هر یک از موش‌ها پس از قرار گرفتن در فرمالین 10% و بلوک پارافینی و تهیه برش‌های نازک 4 میکرومتری و گذراندن مراحل مرتبط به رنگ‌آمیزی هماتوکسیلین-ائوزین توسط پاتولوژیست ماهر آنالیز گردید.

تجزیه و تحلیل آماری: جهت مقایسه نتایج گروه‌های مورد آزمون از روش‌های آمار توصیفی و آزمون آنواری یک‌طرفه نرم افزار SPSS 23 استفاده شد. سطح معنی دار بودن نتایج با فرض $(p < 0/05)$ در نظر گرفته شد.

نتایج

نتیجه تست LAL برای تب زا بودن LPS استخراج شده منفی شد که نشان داد که بخش توکسینی LPS از ساختار آن جدا شده است. نتیجه اندازه‌گیری ذرات و پتانسیل زتای ذرات PLGA قبیل و بعد از انکسپوله شدن در جدول 1 و نمودارهای 1 و 2 نشان داده شده است. بار ذرات تغییر قابل توجهی نداشت ولی اندازه ذرات حاوی D-LPS بزرگتر بودند. میانگین کارابی PLGA کپسوله سازی (EE%) در نانوذارات D-LPS در $77/2$ درصد شد که به روش مستقیم بدست آمد برابر $LC\%$ ($13/9$) معادل و ظرفیت بارگیری ($LC\%$) می‌باشد. محاسبه شد (جدول 2). برای پی بردن به نتایج حاصل از مواجهه موش‌ها با باکتری زنده از شمارش تعداد کلی‌ها در محیط کشت مولر هیتون آگار استفاده شد.

آمده، مقدار آن اندازه گیری و به کمک معادله‌های زیر محاسبه گردید.

$$\frac{\text{مقدار } LPS \text{ اندازه گیری شده}}{\text{مقدار } LPS \text{ اولیه}} \times 100 = \frac{\text{مقدار } LPS \text{ اندازه گیری شده}}{\text{مقدار نانو ذرات}} \times 100 = \frac{\text{ظرفیت بارگذاری}}{\text{مقدار نانو ذرات}}$$

واکیسناسیون موش‌ها: تعداد 40 سر موش C-Balb ماده پس از گذراندن مراحل اولیه در حیوان خانه مرکز تحقیقات دانشگاه آزاد زنجان بطور تصادفی به 4 گروه 10 تایی تقسیم شدند. گروه اول به عنوان گروه D شاهد، نرمال سالین، گروه دوم PLGA، گروه سوم PLGA-D-LPS و گروه چهارم D-LPS را دریافت کردند. برای تولید مقدار کافی آنتی بادی علیه آنتی ژن تزریق شده در حیوانات آزمایشگاهی باید حداقل سه بار تزریق به فاصله دو هفته‌ای صورت گیرد (25). بنابراین در روزهای 1 ، 14 و 28 تزریق به عضله 4 سر ران در گروه‌ها انجام شد. در هر بار $0/5$ میلی‌لیتر تزریق صورت گرفت.

مواجهه موش‌ها با باکتری‌های زنده: ابتدا سوسپانسیون نیم مکفارلنڈ ($10^8 \times 1/5$) از اسیتوبیاکتر بومانی در شرایط رشد آزمایشگاهی تهیه شد. 100 میکرولیتر از سوسپانسیون بالا در $0/5$ میلی‌لیتر آب مقطر رقیق و سپس بعد از بیهوشی موش‌های واکسینه شده با دی‌ای‌تی، از طریق بینی به آنها عرضه شد. بعد از گذشت 2 روز موش‌ها با دی‌ای‌تی اتر کشته شدند و ریه آنها جهت مراحل بعدی خارج شد. بخش چپ ریه جهت انجام مطالعات بافت‌شناسی در فرمالین 10 درصد قرار گرفت. باقیمانده بافت در محیط استریل در 10 میلی‌لیتر از نرمال سالین خرد و هموژن شد. برای رقت‌سازی مقدار یک میلی‌لیتر از سوسپانسیون هموژن شده به لوله آزمایش حاوی 9 میلی‌لیتر نرمال سالین استریل اضافه شد و

میانگین تعداد کلنی‌ها در هریک از رقت‌ها در جدول ۳ توضیح داده شده است.
۳ و نمودار ۳ آمده است. نتایج مطالعات

جدول ۱- سایز و بار ذرات قبل و بعد از انکسوله کردن

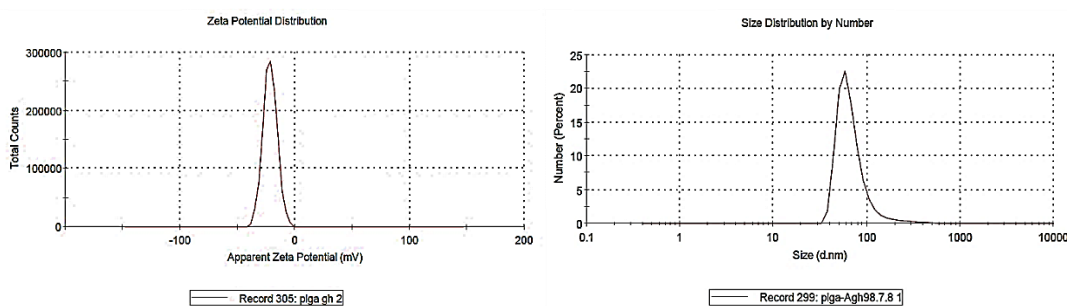
اندازه(نانومتر)	بار(میلی ولت)	نمونه
۱۵۳/۴	-۲۱/۵	PLGA
۱۹۶/۶	-۲۲/۹	PLGA-D-LPS

جدول ۲- بازده کپسوله‌سازی و ظرفیت بارگیری

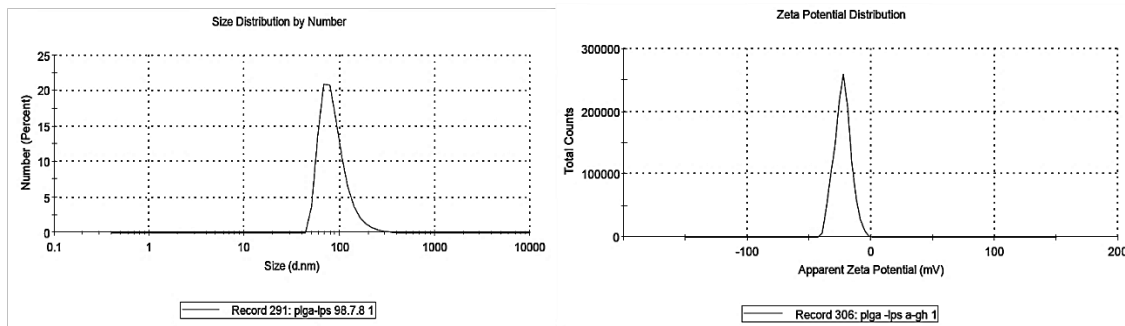
درصد کارایی کپسوله‌سازی	درصد ظرفیت بارگیری	نمونه
۷۷/۲	۱۳/۹	PLGA-D-LPS

جدول ۳- میانگین تعداد کلنی‌ها

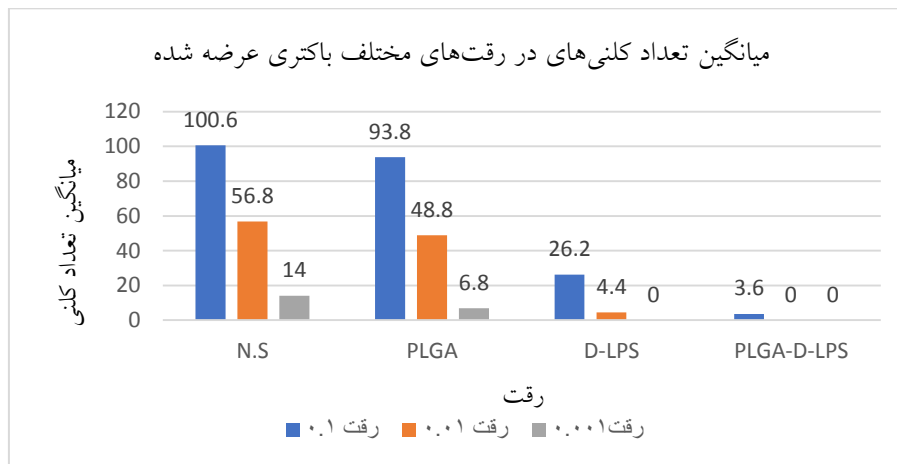
رقت	میانگین تعداد کلنی در رقت	رقت	گروه‌ها
۰/۰۰۱	۰/۰۱	۰/۱	نرمал سالین
۱۴	۵۶/۸	۱۰۰/۶	PLGA
۶/۸	۴۸/۸	۹۳/۸	D-LPS
صفر	۴/۴	۲۶/۲	PLGA-D-LPS
صفر	صفر	۳/۶	



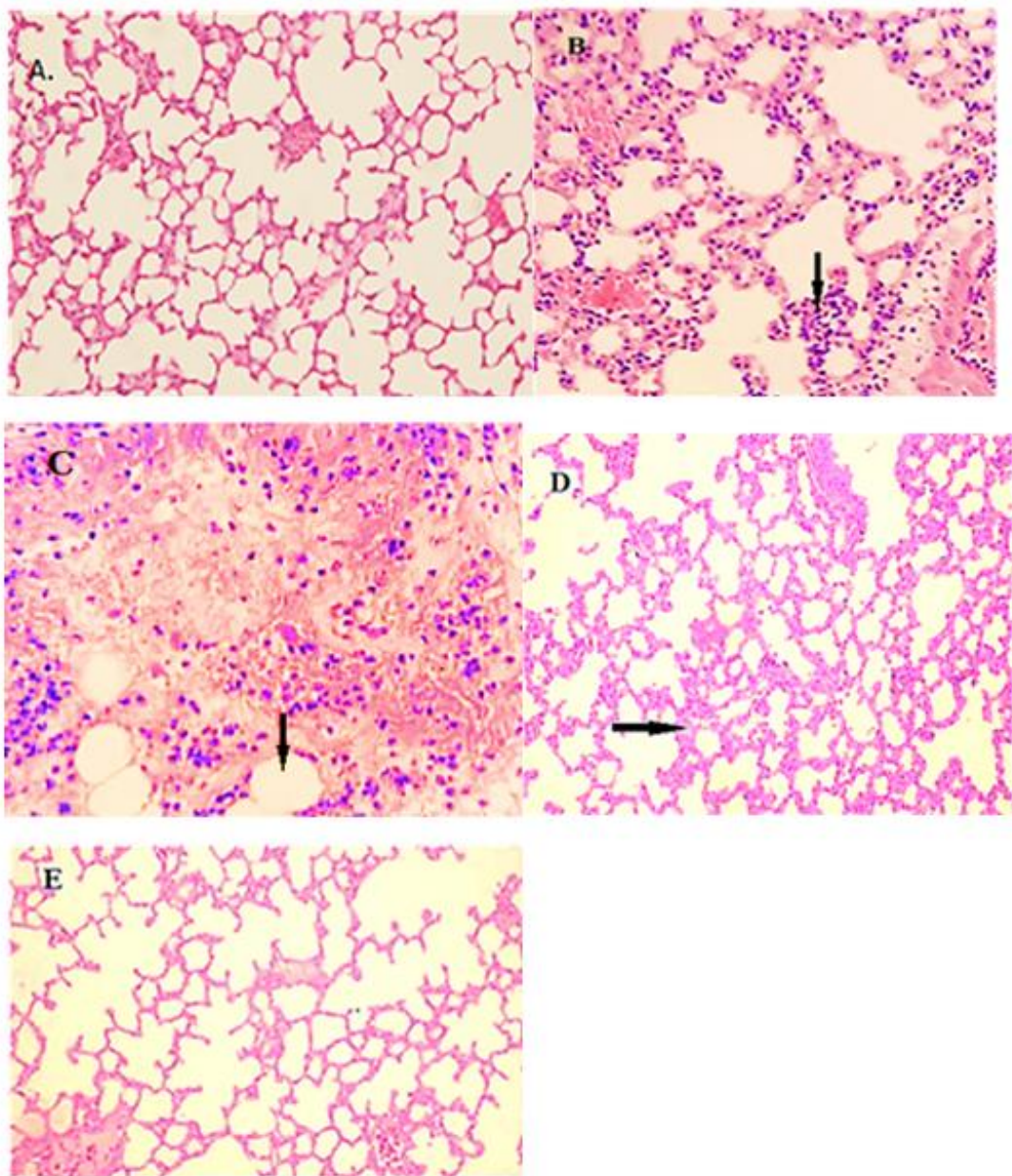
نمودار ۱- منحنی بار و اندازه ذرات PLGA؛ راست: سایز ذرات (نانومتر) و چپ: بار ذرات (میلی ولت)



نمودار ۲- منحنی بار و اندازه ذرات PLGA حاوی D-LPS؛ راست: اندازه ذرات(نانومتر) و چپ: بار ذرات(میلی ولت)



نمودار ۳- میانگین تعداد کلنی ها در رقت های مختلف باکتری



شکل ۳- هیستوپاتولوژی ریه موش‌ها بعد از گذشت ۸ ساعت از عرضه باکتری: A: بافت ریه سالم موش بدون آلدگی (X100). B: آسیب همورازیک والتهاب شدید با حضور نوتروفیل‌ها (پیکان سیاه) در موشهای که نرمال سالین دریافت کردند (X400). C: التهاب شدید همراه با میکروبی بالا و نکروز (پیکان سیاه) در موشهای دریافت کننده PLGA (X400). D: ضخیم شدن دیواره آلوئولها (پیکان سیاه) با مشاهده تعداد کمی نوتروفیل و باکتری در موش‌های دریافت کننده D-LPS (X100). E: بافت ریه موشهایی که نانوذرات PLGA حاوی D-LPS دریافت کردن تفاوت زیادی با بافت سالم ریه نداشت (X100).

بحث

اسیتوباکتر بومانی یکی از ۶ سرده باکتریایی هست که در لیست مقاومت دارویی قرار دارد (۳۰). اسیتوباکتر بومانی یک باسیل گرم منفی هوایی، پلومورفیک و غیر متحرک بوده و عنوان پاتوژن

سازمان بهداشت جهانی (WHO) اخیراً مقاومت میکروبی بویژه مقاومت چند دارویی (MDR) را به عنوان یکی از سه مورد شناخته شده مشکلات مهم پیش روی سلامت انسان عنوان کرده است (۵).

ذرات PLGA بارگذاری شد که نتایج حاکی از افزایش تحریک سیستم ایمنی در اثر کنترل رهایش آنتی ژن بود (۳۲). در یک پژوهش دیگر با استفاده از روتاویروس سویه *SA11* انکپسوله شده درون ذرات PLGA و استفاده از آلبومین سرمی به عنوان تثبیت کننده در طول فرآیند امولسیفیکاسیون، مشخص شد که تک دوز ایمونیزاسیون دهانی با ۲۰ میکروگرم آنتی ژن، تیتر بالایی از آنتی بادی های IgG و IgA در مقایسه با حالت محلول آنتی ژن القا کرد (۲۳). در مطالعه اخیر از این روش برای انتقال لیپوپلی ساکارید (LPS) سمیت زدایی شده باکتری اسیتوباکتر بومانی استفاده شد. ضریب انکپسوله سازی یکی از مواردی است که نشان می دهد چه مقدار از آنتی ژن مورد نظر درون نانوذرات قرار گرفته اند. در پژوهش های مختلف انجام شده مقادیر متفاوتی بیان شده است. برای مثال در پژوهش مربوط به آنتی ژن سطحی ویروس هپاتیت B این مقدار در حدود ۷۶ درصد بوده است (۳۲). یا در مثال دیگر میزان انکپسوله شدن توکسوئید کزار درون ذرات PLGA برابر ۶۹ درصد بود (۲۹). در این پژوهش درصد انکسپوله شدن D-LPS در نانوذرات PLGA برابر ۷۷/۲ درصد بدست آمد که قابل قبول است. طبق پژوهش حاضر از پلیمر PLGA نانوسفرهایی با بار منفی ۲۱/۵ میلی ولت بوجود آمد. بر اساس پژوهش های دیگر، PLGA در حالت عادی نانوذره های کروی با بار منفی ایجاد می کند که پژوهش حاضر نیز با آن ها همسو بود (۲۶ و ۱۷). لازم به ذکر است که پتانسیل زتا در سطح ذرات PLGA در pH های مختلف متفاوت می شود (۱۴). تعیین مقدار پتانسیل زتا نانوذرات PLGA حاوی D-LPS نشان داد که تغییر چندانی در نوع و اندازه بار بوجود نیامده است. با توجه این که D-LPS درون نانوذرات PLGA قرار می گیرند در بار سطحی ذرات تغییری ایجاد نمی شود. با کمال تعجب

فرصت طلب، در افراد مبتلا به نقص سیستم ایمنی، به ویژه در افرادی که مدت طولانی در بیمارستان اقامت داشته اند می باشد (۲۱). برای مقابله با روند افزایش مقاومت چند دارویی، علاوه بر تحقیقاتی که در مورد تولید آنتی بیوتیک های جدید موثر صورت می گیرد، تولید واکسن های موثر نیز می تواند راهی برای جلوگیری از عفونت توسط این باکتری باشد. برای تولید آنتی بادی های موثر علیه پیتیدهای کوچک و آنتی ژن های غیر پروتئینی نظری (فندها، مولکولهای هاپتنی مانند اکثر داروها)، لازم است این مولکول ها به یک حامل بزرگ ایمونوژن کوژنوجه شوند. پلی لاکتیک -کو- گلیکولیک اسید (PLGA) یکی از پرکاربردترین این ذرات است که قادر به حمل انواعی از آنتی ژن ها و داروها می باشد (۱). لایه لیپوپلی ساکارید (LPS) در باکتری های گرم منفی یکی از تحریک کننده های سیستم ایمنی می باشد که می تواند بعنوان واکسن مورد استفاده قرار گیرد. اثرات لیپوپلی ساکارید در تحریک سیستم ایمنی از طریق واکنش با گیرنده های شبه تول ۴ (*Toll Like Receptor 4*) و تمایز لنفوسيت های T کمک کننده شناخته شده است. تحریک تکثیر غیر اختصاصی لنفوسيت های B، ترشح سایتوکاین هایی از قبیل فاکتور نکروز کننده تومور (*TNF*)، ایترلوكین های IL-1، IL-6 (۱ و ۶) و تولید نیتریک اسید در ماکرو فاژها و سایر بیگانه خوارهای تک هسته ای، از دیگر اثرات قابل ذکر LPS بر سیستم ایمنی می باشد (۲۰).

استفاده از نانوذرات PLGA در سیستم تحويل واکسن و عوامل تحریک کننده سیستم ایمنی در موارد مختلف قبل از مطالعه شده است (۲۲). انکپسوله کردن آنتی ژن ها داخل نانوذرات PLGA یکی از روش های مورد استفاده می باشد که قبل از موارد مختلف از آن استفاده شده است (۱). برای مثال در یک پژوهش، آنتی ژن سطحی ویروس هپاتیت B (HBsAg) درون

حفاظت ایمنی داشت . ولی در مورد گروه های دریافت کننده D-LPS و PLGA-D-LPS تشکیل کلňی های کم در محیط کشت تاثیر واکسیناسیون را کاملا نشان داد. اما در مقایسه بین دو گروه اخیر فقط در رقت $1/10$ تفاوت معنی داری بین آنها مشاهده شد و در رقت های کم، اثر مشابه داشتند که نشان می دهد انکپسوله نمودن لبیوپلی‌ساکارید باکتری در نانو ذرات PLGA نقش حفاظتی بیشتری از D-LPS به تنهایی هنگام حضور باکتری با تراکم بالا در ریه دارد ولی در تراکم محدود اثر آنها مشابه است. این مطلب در مطالعه بافت ریه نیز تایید گردید (شکل ۳). در موش های دریافت کننده نرمال سالین آسیب هموراژیک و التهاب شدید و حضور گستردۀ نوتروفیل ها در بافت ریه مشاهده شد. در گروه دوم که D-LPS دریافت کرده بودن التهاب شدید همراه با بار میکروبی بالا و نکروز دیده شد. در گروه سوم که PLGA دریافت کرده بودند ضخیم شدن دیواره آلوئول ها با تعداد محدود باکتری و نوتروفیل مشاهده شد و بافت ریه موش هایی که نانوذرات PLGA حاوی D-LPS دریافت کردن تفاوت زیادی با بافت سالم ریه نداشت..

نتیجه گیری

نانوذرات PLGA می توانند لبیوپلی‌ساکارید سم زدایی شده (D-LPS) باکتری اسیتوبیکتریومانی انکسپوله شده درون خود را به خوبی به سیستم ایمنی موش ارایه داده و به مقدار قابل قبول سیستم ایمنی موش را تحریک کنند و موش را در برابر عفونت ریوی با این باکتری، حفاظت نمایند. پیشنهاد می گردد از روش کونزروگه کردن D-LPS در سطح خارجی نانوذرات PLGA در پژوهش های بعدی استفاده گردد.

نتایج مطالعات مختلف ارزیابی اثر اندازه ذرات بر ایجاد پاسخ سیستم ایمنی با هم همخوانی ندارند ولی بطور کلی می توان نتیجه گرفت که ذرات PLGA با اندازه بین 200 نانومتر تا 2 میلی متر می توانند پاسخهای ایمنی بهتری ایجاد کنند. ایجاد پاسخهای ایمنی پیچیده است و به پارامترهای مختلفی از جمله مسیرهای واکسیناسیون ، خصوصیات فیزیکی و شیمیابی ذرات PLGA (به عنوان مثال ، اندازه ، بار سطحی و مورفولوژی آنها) ، ویژگی های آتشی زن و البته موارد دیگر وابسته است (۱). اندازه ذرات در تحقیق حاضر بین 150 تا 200 نانومتر بودند. نشان داده شده که ذراتی با دامنه $20-200$ نانومتر با سرعت بیشتری از طریق رگ های لنفاوی جابجا می شوند (۳۱). اهمیت سایز و بار در پژوهش های مختلف این گونه است که اندازه و توزیع نانوذرات در تعیین ایترکشن این ذرات با غشاء سلولی و جابجایی آنها در عرض سدهای فیزیولوژیک مهم است. به شکل کلی، اندازه نانوذرات مشابه نسبی با اندازه پاتوژن ها دارد که به آسانی می توانند شناسایی، برداشت و در نهایت موجب تحریک سیستم ایمنی شوند، هرچند نمی توان به طور دقیق در این باره اظهار نظر کرد اما دندرتیک سل ها ترجیحاً ذرات بین 20 تا 200 نانومتر را اندوسیتوز می کنند ، در حالی که ماکروفاراژ ها ذراتی به اندازه 0.5 تا 5 میکرومتر را ترجیح می دهند (۲۹).

نقش نوتروفیل ها در مقاومت میزبان نسبت به عفونت با این باکتری بررسی شده است (۲۴). مطالعه حاضر نشان داد که از لحاظ آماری ($P<0.05$) تفاوت معنا داری در اثرات نمونه های ارایه شده به موش ها از نظر محافظت از موش ها وجود دارد. بطور کلی گروه کنترل و گروهی که تنها PLGA دریافت کرده بودند شبیه هم بودند و تعداد کلňی های رشد کرده حاصل از کشت ریه آنها در رقت های متفاوت نشان از عدم

7. Chen N., Zhou M., et al., 2020. Epidemiological and clinical characteristics of 99 cases of 2019 novel coronavirus pneumonia in Wuhan, China: a descriptive study. *The Lancet*, 395(10223): 507-513.
8. Erridge C., Bennett-Guerrero E., 2002. Structure and function of lipopolysaccharides. *Microbes Infect*, 4(8): 837-851.
9. Farahani K., Moniri R., Shajari GR., Nazem Shirazi M.H., Musavi S., Ghasemi A., 2009. Antimicrobial susceptibility patterns and the distribution of resistance genes among *Acinetobacter* species isolated from patients In Shahid Beheshti Hospital, Kashan. *FEYZ*, 12: 61-67. [In Persian]
10. Ferreira A.E., Marchetti D.P., Cunha G.R., Oliveira L.M., Fuentefria D.B., Dall Bello A.G., 2011. Molecular characterization of clinical multi resistant isolates of *Acinetobacter* sp. From hospitals in Porto Alegre, State of Rio Grande do Sul, Brazil. *Revista da Sociedade Brasileira de Medicina Tropical*, 44(6): 725-30.
11. Gökhan M., Pınar Z., Barış O., İlknur T., Hanife A., Ertugru C., 2020. Emergence of colistin and carbapenem-resistant *Acinetobacter calcoaceticus*-*Acinetobacter baumannii* (CCR-Acb) complex in a neurological intensive care unit followed by successful control of the outbreak. *Journal of Infection and Public Health*, 13(4): 564-570.
12. Gusten W., Hansen E., Cunha B., 2002. *Acinetobacter baumannii* pseudomeningitis. *Heart & Lung*, 31(1): 76-78.
13. Hajavi J., Sankian M., Varasteh A., Hashemi, M., 2017. Synthesis Strategies for Optimizing Sizes of PLGA Nanoparticles Containing Recombinant Chenopodium Album (rChe a 3) Allergen. *International Journal of Polymeric Materials and Polymeric Biomaterials*, 66(12): 603-608.
14. Hamdy S., Haddadi A., Hung R., Lavasanifar A., 2011. Targeting dendritic

تشکر و قدردانی

از زحمات همه استادی که راهنمایی و مشاوره این پژوهش را بر عهده داشتند و کارکنان بخش تحقیقات دانشگاه آزاد اسلامی زنجان، دانشکده داروسازی دانشگاه علوم پزشکی زنجان و حوزه معاونت پژوهشی دانشگاه آزاد واحد تهران شمال تشکر و قدردانی می گردد.

منابع

1. Allahyari M., Mohit E., 2016. Peptide/protein vaccine delivery system based on PLGA particles. *Human Vaccines & Immunotherapeutics*, 12(3): 806-828.
2. Amini Y., Amel J.S., 2017. Different methods to determine the encapsulation efficiency of protein in PLGA nanoparticles. *Bio-Medical Materials and Engineering* 28(6): 613-620.
3. Amjadi I., Rabiee M., Hosseini M.S., 2013. Anticancer Activity of Nanoparticles Based on PLGA and its Co-polymer: In-vitro Evaluation. *Iran Journal of Pharmaceutical Research*, 12(4): 623-634.
4. Angoti G., Godarzi H., Besharat M., Hajizadeh M., Zarringhalam M., 2014. Evaluation of antibiotic resistance of clinical *Acinetobacter baumannii* isolated of Tabriz hospital by disk diffusion and MIC methods. *Research in Medicine*, 38(2): 106-110.
5. Bassetti M., Ginocchio F., Mikulska M., 2011. New treatment options against gram-negative organisms. *Annual Update in Intensive Care and Emergency Medicine*, 1: 501-515.
6. Bayuga S., Zeana C., Sahni J., Della-Latta P., el-Sadr W., Larson E., 2002. Prevalence and antimicrobial patterns of *Acinetobacter baumannii* on hands and nares of hospital personnel and patients: the iceberg phenomenon again. *Heart & Lung*, 31(5): 382-390.

- its derivatives. *Journal of Controlled Release*, 125(3): 193-209.
23. Nayak B., Panda A.K., Ray P., Ray A.R., 2009. Formulation, characterization and evaluation of rotavirus encapsulated PLA and PLGA particles for oral vaccination. *Journal of Microencapsulation*, 26(2): 154-65.
24. Nielsen T.B., Yan J., Luna B., Spellberg B., 2018. Murine Oropharyngeal Aspiration Model of Ventilator-associated and Hospital-acquired Bacterial Pneumonia. *Journal of Visualized Experiments*, 136: 1-9.
25. Pakzad P., 1391. Principles and methods of production of polyclonal antiserums in animals. Third edition. Noor danesh. Tehran:141-142. [In Persian]
26. Patel N.R., Damann K., Leonardi C., Sabliov C.M., 2011. Size dependency of PLGA-nanoparticle uptake and antifungal activity against *Aspergillus flavus*. *Nanomedicine*, 6(8): 1381-1395.
27. Peek L., Middaugh R., Berkland C., 2008. Nanotechnology in vaccine delivery. *Advanced Drug Delivery Reviews*, 60(8): 915-928.
28. Peleg A.Y., Seifert H., Paterson D.L., 2008. *Acinetobacter baumannii*: emergence of a successful pathogen. *Clinical Microbiol Reviews*, 21(3): 538-582.
29. Raghuvanshi R.S., Katare Y.K., Lalwani K., Ali M., Singh O., Panda A.K., 2002. Improved immune response from biodegradable polymer particles entrapping tetanus toxoid by use of different immunization protocol and adjuvants. *International Journal of Pharmaceutics*, 245(1): 109-121.
30. Rice L.B., 2008. Federal funding for the study of antimicrobial resistance in nosocomial pathogens: no ESKAPE. *The Journal of Infectious Diseases*, 197(8): 1079-1081.
- cells with nano-particulate PLGA cancer vaccine formulations. *Advanced Drug Delivery Reviews*, 63(10): 943-955.
15. Jain S., O'Hagan D.T., Singh M., 2011. The long-term potential of biodegradable poly(lactide-co-glycolide) microparticles as the next-generation vaccine adjuvant. *Expert Review of Vaccines*, 10(12): 1731-1742.
16. Karakonstantis S., Gikas A., Astrinaki E., Kritsotakis E., 2020. Excess mortality due to pandrug-resistant *Acinetobacter baumannii* infections in hospitalized patients. *Journal of Hospital Infection*, 106(3): 447-453.
17. Kim H., Uto T., Akagi T., Baba M., Akashi M., 2010. Amphiphilic poly (amino acid) nanoparticles induce size dependent dendritic cell maturation. *Advanced Functional Material*, 20(22): 3925-3931.
18. Lorente C., Del Castillo Y., Rello J., 2002. Prevention of infection in the intensive care unit: current advances and opportunities for the future. *Current Opinion Critical Care*, 8(5): 461-644.
19. Makadia H.K., Siegel S.J., 2011. Poly lactic-co-glycolic acid (PLGA) as biodegradable controlled drug delivery carrier. *Polymers*, 3(3): 1377-1397.
20. Maxwell J., Ruby C., Kerkvliet N., Vella T., 2002. Contrasting the roles of costimulation and the natural adjuvant lipopolysaccharide during the induction of T cell immunity. *Journal of Immunology* 168(9): 4372-4381.
21. Montefour K., Frieden J., Hurst S., Helmich C., Headley D., Martin M., 2008. *Acinetobacter baumannii*: an emerging multidrug-resistant pathogen in critical care. *Critical Care Nurse*, 28(1): 15-25.
22. Mundargi R.C., Babu V.R., Rangaswamy V., Patel P., Aminabhavi T.M., 2008. Nano/micro technologies for delivering macromolecular therapeutics using poly (D, L-lactide-co-glycolide) and

34. Turton J.F., Kaufmann M.E., Gill M.J., Pike R., Scott P.T., Fishbain J., 2006. Comparison of *Acinetobacter baumannii* isolates from the United Kingdom and the United States that were associated with repatriated casualties of the Iraq conflict. *Journal of Clinical Microbiology*, 44(7): 2630-2634.
35. Westphal O., Jann K., 1965. Bacterial lipopolysaccharides Extraction with phenol-water and further applications of the procedure. *Methods in Carbohydrate Chemistry*, 5: 83-91.
36. Zheng Y., Chen H., Yao M., Li X.. 2018. Bacterial pathogens were detected from human exhaled breath using a novel protocol. *Journal of Aerosol Science*, 117: 224-234
31. Riet E., Ainai A., Suzuki T., Kersten G., Hasegawa H., 2014. Combatting infectious diseases; nanotechnology as a platform for rational vaccine design. *Advanced Drug Delivery Reviews*, 74: 28-34.
32. Thomas C., Gupta V., Ahsan F., 2009. Influence of surface charge of PLGA particles of recombinant hepatitis B surface antigen in enhancing systemic and mucosal immune responses. *International Journal of Pharmaceutics*, 379(1): 41-50.
33. Treuel L., Jiang X., Nienhaus G.U., 2013. New views on cellular uptake and trafficking of manufactured nanoparticles. *Journal of the Royal Society Interface*, 10(82): 453-468.

